- осложненных условиях путем применения магнитных устройств // Нефтяное хозяйство. 1997. № 7. С. 46—47.
- Пивоварова Н.А., Унгер Ф.Г., Туманян Б.П. Влияние обработки постоянным магнитным полем на парамагнитную активность нефтяных систем // Химия и технология топлив и масел. – 2002. – № 1. – С. 30–32.
- Лесин В.И., Дюнин А.Г., Хавкин А.Я. Изменение физико-химических свойств водных растворов под влиянием электромагнитного поля // Журнал физической химии. 1993. Т. 67. № 7. С. 1561–1562.
- Борсуцкий З.Р., Ильясов С.Е. Исследования механизма магнитной обработки нефтей на основе результатов лабораторных и промысловых испытаний // Нефтепромысловое дело. 2002.

   № 8. С. 28–37.
- Пат. 2153126 РФ. МКИ<sup>3</sup> С01F 111/22. Устройство для защиты трубопроводов от коррозии / В.М. Кондаков, А.Н. Качуров-

- ский, А.Л. Бушковский, В.А. Кольцов, Л.В. Прасс, В.Н. Лялин. Заявлено 28.09.1998; Опубл. 20.07.2000, Бюл. № 20. 16 с.: 7 ил.
- Спектроскопия оптического смешения и корреляция фотонов / Под ред. Г. Камминса, Э. Пайка. – М.: Мир, 1978. – 574 с.
- Посадов И.А., Поконова Ю.В. Структура нефтяных асфальтенов. Л.: ЛТИ, 1977. 76 с.
- Лоскутова Ю.В., Юдина Н.В. Влияние постоянного магнитного поля на реологические свойства высокопарафинистых нефтей // Коллоидный журнал. — 2003. — Т. 65. — № 4. — C. 510—515.
- Лоскутова Ю.В., Юдина Н.В. Реологическое поведение нефтей в магнитном поле // Инженерно-физический журнал. 2006.

   Т. 79. № 1. С. 102–110.
- Лоскутова Ю.В. Влияние магнитного поля на реологические свойства нефтей: Дис. ... канд. хим. наук. – Томск, 2003. – 144 с.

УДК 533.6.011

## О ВЫБОРЕ ФУНКЦИОНАЛА ДЛЯ ОДНОЙ ВАРИАЦИОННОЙ ЗАДАЧИ ГАЗОВОЙ ДИНАМИКИ

В.М. Галкин

Томский политехнический университет E-mail: vlg@tpu.ru

Рассматривается численное решение прямым методом вариационной задачи о построении сверхзвукового сопла с равномерным потоком на выходе. Предложен способ выбора минимизируемого функционала. Проведено сравнение с результатом, полученным другим методом.

#### 1. Введение

Известно, что если возможна численная (программная) реализация некоторой задачи, то эта реализация может быть сделана неединственным способом. В этом смысле не являются исключением и прямые численные методы решения вариационных задач, когда решение получается в результате минимизации определенного функционала. При этом для класса вариационных задач, к числу которых относятся и газодинамические задачи, некоторые численные реализации могут приводить к тому, что область определения будет являться неодносвязным множеством.

В качестве характерного примера рассмотрим задачу, решаемую прямым методом, о численном построении сверхзвукового сопла с равномерным потоком на выходе. Отметим, что к этому близка задача о сопле максимальной тяги [1]. Пусть в некотором сопле, профиль которого определяется варьируемыми переменными, рассчитывается поле течения, а по найденному полю вычисляется функционал, характеризующий неравномерность потока на выходе из сопла и имеющий минимальное значение тогда, когда поток равномерный.

В основу численной реализации указанной задачи могут быть положены два основных подхода. Первый использует тот факт, что поток остается

сверхзвуковым и возможно использование простых в реализации и быстрых в расчете маршевых схем; второй подход допускает существование дозвуковых течений и, соответственно, требуется применение гораздо более сложных и более медленных численных методов. Пусть в основу первой численной реализации положен метод характеристик [2]. Тогда очевидно, что если в некоторых контурах не будет реализовываться полностью сверхзвуковое течение, то это приведет к аварийному останову (авосту). Следствием этого будет неодносвязность области определения, поскольку функционал, использующий параметры потока на выходе из сопла, вычислить нельзя. Второй подход, учитывающий появление дозвукового течения и использующий, например, метод установления и схему Годунова [3], лишен это недостатка, однако интеллектуальные и временные затраты по сравнению с методом характеристик возрастают на порядок.

В работе [4] наряду с методом характеристик, позволяющим быстро получать решение, предложен функционал, который, в частности, использует значения параметров течения, найденные на каждой характеристике  $C^+$ . Это позволяет даже при наличии авостов продолжить функционал на односвязную область.

В данной статье, которая является развитием работы [4], предлагается вычислять функционал

более простым способом. Для оценки правильности полученных результатов использовалось решение, полученное по методике [2].

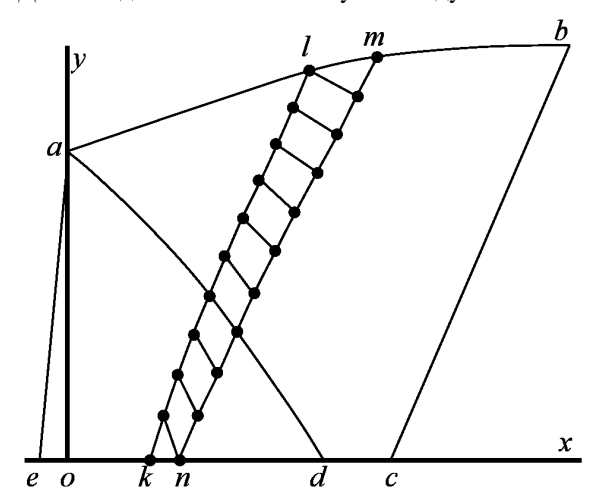
#### 2. Постановка задачи

Дано установившееся незакрученное изоэнтропическое и изоэнергетическое течение идеального совершенного газа в осесимметричном сопле, рис. 1. Характеристические уравнения и условия совместности имеют вид:

$$\frac{\dot{x}}{dx} = \operatorname{tg}(\theta \pm \alpha),$$

$$d\theta \pm \frac{\cos^2(\alpha)}{(\gamma + 1)/2 - \cos^2(\alpha)} d\alpha \pm \frac{\sin(\alpha)\sin(\theta)}{y\cos(\theta \pm \alpha)} dx = 0, (1)$$

где  $\gamma$  — показатель адиабаты, далее  $\gamma$ =1,4; x и y — продольная и поперечная координаты, отнесенные к радиусу сопла в минимальном сечении;  $\alpha$ =arsin(1/M) — угол Маха, M — число Маха;  $\theta$  — угол наклона вектора скорости (линии тока) к оси x; знак +(—) соответствует характеристике  $C^*(C^-)$ ; полагается, что во входном сечении  $x_a$ =0. На стенке реализуется условие непротекания:  $tg(\theta)=f'(x)$ , где f(x) — функция, описывающая контур сопла, а штрих обозначает производную по x. Во входном сечении  $x_a$  поток однородный:  $\theta_i$ =0,  $M_i$ =1, где индекс «in» соответствует входу в сопло. Далее индекс «0» соответствует выходу из сопла.



**Рис. 1.** Схема сопла: оа – минимальное сечение; аb – сопло с угловой точкой; аd – характеристика С⁻, принадлежащая пучку волн разрежения; ае – начальная характеристика ; kl – характеристика С‡, пт – характеристика С+, сb – конечная характеристика С⁺

При вычислении параметров течения в угловой точке «a» используется формула Прандтля-Майера, следующая из (1):

$$\theta_2 + \psi(\alpha_2) = \theta_1 + \psi(\alpha_1),$$

$$\psi(\alpha) = -\alpha + \sqrt{\frac{\gamma + 1}{\gamma - 1}} \operatorname{arctg}\left(\sqrt{\frac{\gamma + 1}{\gamma - 1}} \operatorname{tg}(\alpha)\right), \quad (2)$$

где нижние индексы 1 и 2 соответствуют параметрам до и после разворота в угловой точке;  $\theta_i$ =0,  $\alpha_i$ = $\alpha_{in}$ .

Необходимо найти контур сопла (рис. 1), на выходе из которого в сечении  $x=x_b$  поток должен иметь однородные поперек сопла параметры  $\theta=0$  и число Маха  $M_0>1$ . Считается, что давление на выходе из сопла больше давления окружающей среды.

#### 3. Тестовая задача

При заданном показателе адиабаты рассмотрим однопараметрическое, зависящее от  $M_0$ , семейство сопел с угловой точкой и равномерной характеристикой на выходе. Известно [1], что эти сопла имеют максимальную тягу, являются кратчайшими и обеспечивают нулевые потери на рассеяние в выходном сечении. Поскольку на выходе поток будет однородный и параллельный, то указанные сопла будут удовлетворять поставленным выше условиям.

Использование методики [2] при заданных  $M_0>1$  и показателе адиабаты позволяет найти единственное сопло, принадлежащее указанному семейству и удовлетворяющее условиям задачи. Контур сопла, полученный таким образом, считается эталоном, и с ним будет проводиться сравнение прямого метода, а координаты начальной точки (a)0 и найденной конечной точки (a)1 будут являться исходными данными для прямого метода.

## 4. Прямой метод

Даны координаты точек «a», «b» и тангенс угла наклона сопла в точке «b»:

$$f(x_a) = y_a, \quad f(x_b) = y_b, \quad f'(x_b) = y_b',$$
  
 $x_a = 0, \quad y_a = 1, \quad y_b' = 0.$  (3)

Последнее равенство следует из условия  $\theta$ =0 на выходе из сопла.

Для аппроксимации искомого контура в качестве базисных функций используются степенные полиномы:

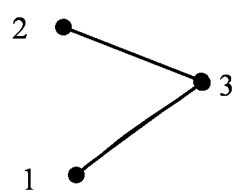
$$f(x) = \sum_{i=1}^{N+3} c_i t^{i-1}, \ t = (2x - x_b - x_a)/(x_b - x_a),$$
$$t \in [-1,1], \ x \in [x_a, x_b]. \tag{4}$$

Так как должны выполняться условия (3), то коэффициенты  $c_{N+1}$ ,  $c_{N+2}$ ,  $c_{N+3}$  и профиль сопла f(x) выражаются через N линейно независимых коэффициентов  $c_1$ , ...,  $c_N$ . Требуется найти профиль сопла, удовлетворяющий геометрическим условиям (3) и постановке задачи.

**Прямой расчет.** В рамках прямого метода принято называть прямым расчетом единичный расчет поля течения, который заканчивается вычислением функционала. Выбор функционала будет обсуждаться ниже. В прямом расчете система уравнений (1) решается по схеме, рис. 2, где цифрами «1» и «2» обозначены точки с известными параметрами, из которых выходят характеристики  $C^+$  и  $C^-$ . Цифрой «3» обозначена точка их пересечения. Записывая уравнения (1) в разностном виде, получим систему уравнений относительно неизвестных параметров  $\alpha_i^J$ ,  $\theta_i^J$ ,  $x_i^J$ ,  $y_i^J$  в точке «3»:

$$\begin{cases} \frac{y_3^j - y_2}{x_3^j - x_2} = \operatorname{tg}(\theta_{23} - \alpha_{23}), \\ \frac{y_3^j - y_1}{x_3^j - x_1} = \operatorname{tg}(\theta_{13} + \alpha_{13}), \\ \theta_3^j - \theta_1 + \frac{\cos^2 \alpha_{13}}{(\gamma + 1)/2 - \cos^2 \alpha_{13}} (\alpha_3^j - \alpha_1) + \\ + \frac{\sin \alpha_{13} \sin \theta_{13}}{y_{13} \cos(\theta_{13} + \alpha_{13})} (x_3^j - x_1) = 0, \\ \theta_3^j - \theta_2 - \frac{\cos^2 \alpha_{23}}{(\gamma + 1)/2 - \cos^2 \alpha_{23}} (\alpha_3^j - \alpha_2) - \\ - \frac{\sin \alpha_{23} \sin \theta_{23}}{y_{23} \cos(\theta_{23} - \alpha_{23})} (x_3^j - x_2) = 0, \end{cases}$$

здесь j=1,2,... — номер итерации. Обозначим  $p=\alpha,\theta,x,y$ , тогда  $p_{13}=(p_1+p_3^{j-1})/2$ ,  $p_{23}=(p_2+p_3^{j-1})/2$ . Полученная система решалась итерационно до выполнения условия  $\max|p_3^j-p_3^{j-1}|\leq 10^{-8}$ . На начальной итерации полагалось  $p_3^0=(p_1+p_2)/2$ . Так как на оси  $\theta=0,\ y=0,\ a$  на стенке  $\theta=\arctan(f(x))$  и y=f(x), то в данной системе уравнений производились очевидные упрощения.



**Рис. 2.** Схема расчета: 13 — отрезок характеристики C+; 23 — отрезок характеристики C

Таким образом, от оси к стенке, по известной характеристике  $C_{i^+}^+$  рассчитывается следующая характеристика  $C_{i^+}^+$ , где индексы i и  $i^+1$  — порядковые номера вычисляемых характеристик. Расчет производится до тех пор, пока очередная характеристика  $C^+$  не приходит в точку «b». В качестве начальных условий используются  $\theta_{in}$ =0 и  $M_{in}$ =1,001 на начальной характеристике ae. Такие начальные условия достаточно часто применяют вместо плоской звуковой линии [5]. Отметим, что для вычисления интегралов использовалась формула трапеции.

**Выбор функционала.** В [4] использовался функционал, который рассчитывался вдоль характеристики (рис. 1):

$$J = \sqrt{\int_{c}^{b} \theta^{2} dl}.$$
 (5)

Если при вычислении характеристики  $C_{i+1}^*$  происходил авост, то формула (5) заменялась выражением:

$$J = (x_b - x_l) + \sqrt{\int_k^l \theta^2 dl} + \int_a^b \varphi(x) dx,$$

$$\varphi(x) = \begin{cases} |f(x)|, & f'(x) < 0\\ 0, & f'(x) \ge 0 \end{cases}, \tag{6}$$

где первый интеграл вычислялся вдоль последней рассчитанной характеристики  $C_i^+$ , а второй — суммировал площадь участков контура сопла с отрицательными углами наклона. Если авост произошел при расчете характеристики  $C_1^+$ , то  $x_i$ =0 и  $\theta$ =0 вдоль начальной характеристики  $C_2^+$ . В результате функционал (6) приобретает вид:

$$J = x_b + \int_a^b \varphi(x) dx. \tag{7}$$

Как видно, способ вычисления функционала (5–7), предложенный в [4], достаточно сложен. И, кроме этого, замена формулы (5) на формулу (6) приводит к тому, что функционал, сохраняя непрерывность, в общем случае может стать недифференцируемым.

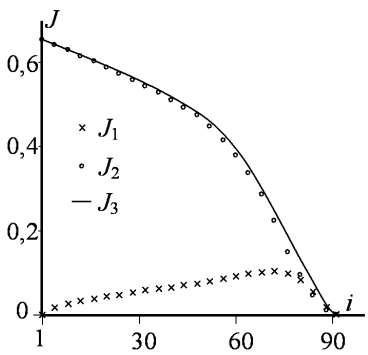
В данной работе предлагается другой подход. Рассмотрим два функционала

$$J_{1} = \sqrt{\frac{1}{L} \int_{C_{i}^{+}} \theta^{2} dl},$$

$$J_{2} = \sqrt{\frac{1}{L} \int_{C_{i}^{+}} ((\alpha - \alpha_{0})/\alpha_{in})^{2} dl}, \quad L = \int_{C_{i}^{+}} dl,$$
(8)

которые вычисляются вдоль произвольной характеристики  $C_i^+$ . Выбор функционалов (8) обусловлен следующими соображениями.

Пусть сопло с известным  $M_0$  удовлетворяет условиям задачи. Тогда, как видно на рис. 3, первый функционал из (8) имеет два минимума  $J_1$ =0. Первому минимуму на характеристике ae соответствует  $\theta$ =0 и  $\alpha_{in}$ =arcsin( $1/M_{in}$ ). Второму минимуму на характеристике cb соответствует  $\theta$ =0 и  $\alpha_0$ =arsin( $1/M_0$ ). Как следует из уравнений (1), только второй минимум является необходимым и достаточным условием решения задачи. Очевидно, что использование первого функционала не гарантирует единственности решения.



**Рис. 3.** Значение функционалов вдоль характеристик  $C_i^+$ ,  $i^-$  номер характеристики

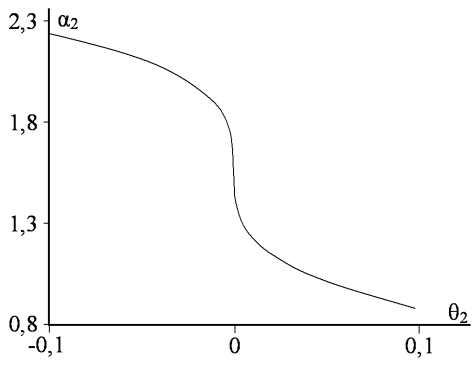
Второй функционал из (8), в отличие от первого, имеет единственный минимум  $J_2$ =0 на характеристике cb (рис. 3), чему соответствует  $\alpha$ = $\alpha_0$ . Однако этот минимум является необходимым, но не достаточным условием решения задачи, поскольку может не выполняться условие  $\theta$ =0. Комбинация  $J_1$  и  $J_2$  дает следующий функционал:

$$J_3 = \sqrt{\frac{1}{L} \int_{C_i^+} \left[ ((\alpha - \alpha_0)/\alpha_{in})^2 + \theta^2 \right] dl}.$$
 (9)

который имеет единственный минимум  $J_3$ =0 на характеристике cb (рис. 3). Так как этот минимум является необходимым и достаточным условием решения задачи и ему соответствует  $\theta$ =0 и  $\alpha$ = $\alpha_0$ , то далее будет использоваться функционал (9).

При вычислении функционала (9) воспользуемся приемом, предложенным в [4], и если при вычислении характеристики  $C_{i+1}^+$  происходит авост, то функционал (9) вычисляется вдоль уже рассчитанной характеристики  $C_i^+$ .

Если сопло имеет отрицательный наклон сопла  $f'(x_a) < 0$  в точке «а», то авост происходит при вычислении характеристики  $C_2^+$ , и функционал (9) вычисляется на начальной характеристике ае. Поскольку при вычислении параметров течения в угловой точке «а» используется формула Прандтля-Майера (2), то можно использовать эту формулу и для вычисления  $\alpha_2$  при  $\theta_2 \le 0$ . В этом случае найденные значения  $\alpha_2$  не имеют физического смысла, т. к. этому соответствует дозвуковое течение. Однако в силу своей непрерывности (рис. 4) функция  $\alpha_2(\theta_2)$ позволяет продолжить функционал (9) на односвязную область в случае отрицательного наклона сопла  $f'(x_a) < 0$  и обеспечить функционалу непрерывность и дифференцируемость. Как показали расчеты, при вычислении по формуле трапеции функционала на начальной характеристике ае достаточно брать только две точки — «a» и «e».



**Рис. 4.** Зависимость  $\alpha_2 = \alpha_2(\theta_2)$ 

Поскольку на входе в сопло граничные условия не меняются, а параметры течения определяются только профилем сопла (4), то значение функционала (9) будет неявно зависеть от этого профиля. Таким образом, задача нахождения профиля сопла f(x), доставляющего экстремум функционалу (9), сводится к поиску точки  $(c_1,...,c_N)$ , в которой функция многих переменных  $J_3=J_3(c_1,...,c_N)$  имеет экстремум. Для нахождения минимума этой функции использовался квазиньютоновский метод Бройдена из [6].

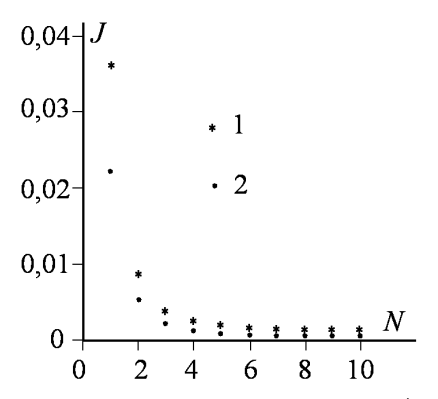
## 5. Численные результаты

Число N варьируемых переменных  $c_i$  менялось от 1 до 10, начальное значение  $c_i$ =0. На характери-

стике *ae* задавалось 50 точек. Координаты точек «*a*» и «*b*»: (0; 1) и (3,576; 1,299). Этим значениям соответствует найденное из [2] эталонное сопло с угловой точкой и числом Маха на выходе  $M_0$ =2.

Сравнение решения для обоих функционалов с эталонным соплом показало, что при N=10 ординаты сопел отличались в четвертом знаке после запятой, а максимальная относительная погрешность по составила 0.02~%.

На рис. 5 представлены результаты минимизации в виде окончательных значений функционалов для различного числа *N*. Таблица демонстрирует влияние числа коэффициентов и используемого функционала как на число прямых расчетов, так и на количество авостов. Из представленных результатов видно, что предложенный функционал (9), несмотря на простоту, по эффективности не уступает функционалу (5—7), предложенному в [4].



**Рис. 5.** Минимизация функционалов: 1) формулы (5–7) из [4], 2) предлагаемая формула (9)

**Таблица.** Минимизация функционалов. В числителе — число прямых расчетов, в знаменателе — авостов

Nº	Формулы (5-7) [4]	Предлагаемая формула (9)
1	13/2	17/2
2	36/3	39/4
3	63/4	69/5
4	98/4	99/5
5	135/5	115/7
6	150/7	166/7
7	199/7	203/6
8	273/6	304/7
9	385/8	320/8
10	444/7	492/9

## Заключение

Проведенные численные исследования показывают, что предложенный функционал достаточно прост в реализации, при наличии авостов имеет продолжение на односвязную область и сохраняет дифференцируемость, а по эффективности не уступает ранее рассмотренному в работе [4] функционалу. Сравнение профиля найденного сопла с эталонным профилем показало, что при 10 варьируемых переменных максимальная относительная погрешность по ординате составляет 0,02 %.

### СПИСОК ЛИТЕРАТУРЫ

- Крайко А.Н. Вариационные задачи газовой динамики. М.: Наука, 1979. – 448 с.
- 2. Кацкова О.Н. Расчет равновесных течений газа в сверхзвуковых соплах. М.: ВЦ АН СССР, 1964. 61 с.
- 3. Годунов С.К., Забродин А.В., Иванов М.Я. и др. Численное решение многомерных задач газовой динамики. М.: Наука, 1976. 400 с.
- Галкин В.М., Волков Ю.С. Сравнение базисных функций в прямой задаче профилирования сверхзвуковой части сопла //
- Сибирский журнал индустриальной математики. 2004. Т. 7. № 4(20). С. 48-58.
- Крайко А.Н., Тилляева Н.И. Оптимальное профилирование контура сверхзвуковой части тарельчатого сопла // Механика жидкости и газа. – 2000. – № 6. – С. 172–184.
- Дэннис Дж. мл., Шнабель Р. Численные методы безусловной оптимизации и решения нелинейных уравнений. – М.: Мир, 1988. – 440 с.

УДК 536.21+692.2:691.327:666.973.2:666.64-492.3

# НЕСТАЦИОНАРНЫЙ ПРОСТРАНСТВЕННЫЙ ТЕПЛОПЕРЕНОС В НЕОДНОРОДНОЙ КЕРАМЗИТОБЕТОННОЙ СТЕНЕ

А.Н. Хуторной, А.Я. Кузин, Н.А. Цветков, Т.А. Мирошниченко, А.В. Колесникова

Томский государственный архитектурно-строительный университет E-mail: kaftqs@tsuab.ru

С помощью математического моделирования исследовано тепловое состояние неоднородного трехслойного керамзитобетонного фрагмента стены с фасадным утеплением на гибкой связи. Установлен характер распределения полей температуры в керамзитобетонной конструкции. Выполнена оценка зоны влияния гибкой связи на температурное поле стены. Разработанная численная методика позволяет проводить тепловую экспресс-диагностику наружных неоднородных керамзитобетонных стен с различными теплофизическими и геометрическими характеристиками материалов системы в реальных условиях эксплуатации.

Вопросы энергосбережения относятся к приоритетным направлениям развития науки, технологий и техники Российской Федерации. Очевидно, что решение этих вопросов должно иметь комплексный характер. В работе [1] выполнена оценка энергоэффективности комплекса энергосберегающих мероприятий в нескольких зданиях общественного назначения г. Москвы. Суммарная экономия энергии оказалась весьма значительной (56...63 %), при этом доля утепления несветопрозрачных ограждений составила 16...20 %. Там же [1] подчеркнута важность энергосберегающих мероприятий, связанных с утеплением несветопрозрачных ограждений, как обеспечивающих суммарное снижение энергопотребления здания не менее чем в 2 раза. В этой связи разработка способов повышения теплоэффективности наружных стен существующих зданий и разработка новых конструкций с повышенными теплозащитными свойствами является объективной необходимостью.

Повысить уровень теплозащиты наружных стен зданий можно за счет устройства в толще конструкции пустот, заполненных эффективным утеплителем [2]. Однако, как показано в работе [3], для ряда климатических зон такое решение может быть не достаточным. С целью обеспечения требованиям СНиП II-3-79\* «Строительная теплотехника» возникает необходимость в устройстве дополнительного утепления ограждающих конструкций, которое может быть реализовано с помощью фасадных систем утепления на гибких связях.

Физико-математическая постановка задачи. Рассмотрим нестационарный теплоперенос через трехслойную неоднородную конструкцию, состоящую из керамзитобетона – 1 с вертикальной пустотой, заполненной утеплителем – 4, утеплителя фасадной системы утепления -2 и общивки -3 (рис. 1). Керамзитобетон с обшивкой соединены гибкой связью (коннектором) - 5. Форма керамзитобетона, внутреннего утеплителя, коннектора, утеплителя фасадной системы утепления и обшивки - прямые параллелепипеды, поперечные и продольные сечения которых в общем случае представляют собой разносторонние прямоугольники. Известны теплофизические характеристики ( $\lambda_i$ ,  $\rho_i$ ,  $c_i$ , i=1,5) материалов системы, ее геометрические размеры, температуры наружной  $(t_{g,e})$  и внутренней  $(t_{g,ins})$  сред, коэффициенты теплоотдачи на наружной  $(\alpha_{\scriptscriptstyle w})$  и внутренней ( $\alpha_0$ ) поверхностях ограждения [4].

Необходимо рассчитать поля температур и плотностей тепловых потоков в сечениях неоднородной керамзитобетонной стены с фасадным утеплением.

Теплоперенос в неоднородном керамзитобетонном фрагменте стены описывается в декартовой системе координат трехмерными нелинейными нестационарными уравнениями теплопроводности

$$(\rho c)_{i} \frac{\partial t_{i}}{\partial \tau} = \frac{\partial}{\partial x} (\lambda_{x,i} \frac{\partial t_{i}}{\partial x}) + \frac{\partial}{\partial y} (\lambda_{y,i} \frac{\partial t_{i}}{\partial y}) + \frac{\partial}{\partial z} (\lambda_{z,i} \frac{\partial t_{i}}{\partial z}),$$

$$i = \overline{1,5}.$$
(1)